

บทที่ 2

เอกสารและงานวิจัยที่เกี่ยวข้อง

บทนี้กล่าวถึงเอกสารและงานวิจัยที่เกี่ยวข้อง ประกอบด้วย ไทยานียมไดออกไซด์ กระบวนการโซลเจล การเคลือบฟิล์มบางด้วยวิธีโซลเจล การเตรียมเคลือบฟิล์มบางด้วยเทคนิคจุ่น เคลือบ การหาลักษณะเฉพาะของฟิล์มบาง และ งานวิจัยที่เกี่ยวข้อง ซึ่งมีรายละเอียดดังนี้

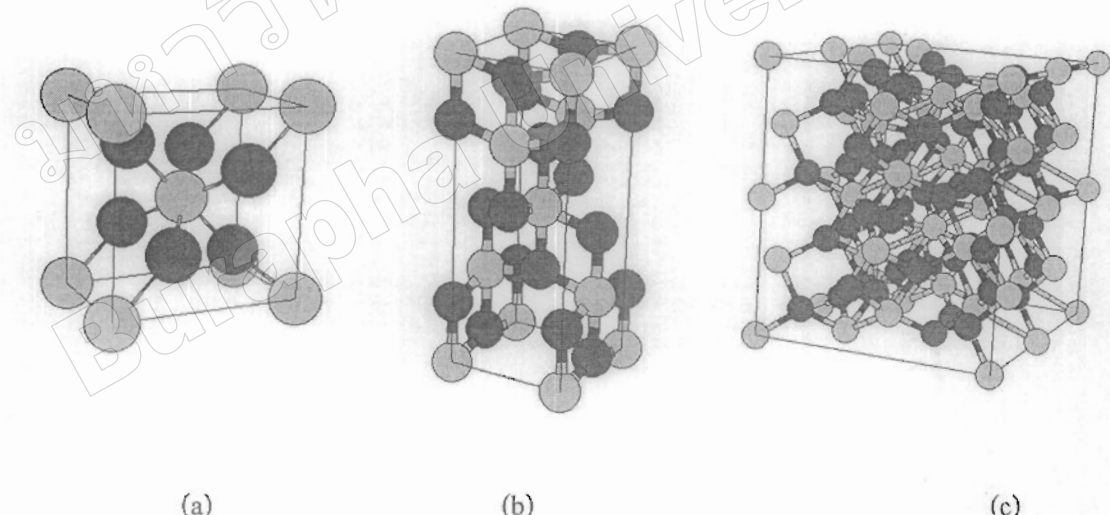
ไทยานียมไดออกไซด์

ไทยานียมไดออกไซด์ หรือ ไทยานีบ เป็นสารประกอบออกไซด์ของโลหะ ไทยานีบมีอยู่ในกลุ่มโลหะทรานซิชัน ทั้งนี้ ไทยานียมไดออกไซด์จัดเป็นสารประกอบที่ได้รับความสนใจอย่างมากในการนำมาประยุกต์ใช้งานด้านต่างๆ เนื่องจากมีความเสถียรต่อสารเคมี ไม่เป็นพิษ ราคาไม่แพง และยังมีสมบัติพิเศษที่เป็นประโยชน์อันหลากหลาย ออาท การนำไทยานียมไดออกไซด์มาใช้อย่างกว้างขวางในด้านการเปลี่ยนพลังงานแสงอาทิตย์เป็นพลังงานรูปอิน เช่น เปลี่ยนเป็นพลังงานไฟฟ้าในเซลล์แสงอาทิตย์ (Solar Cell) และเปลี่ยนเป็นพลังงานเคมีในกระบวนการเร่งปฏิกิริยาแบบใช้แสง (Photocatalysis) เป็นต้น หรือ นำมาใช้เป็นสารเคลือบป้องกันการสะท้อนของแสงในเซลล์แสงอาทิตย์ชนิดซิลิโคน (Silicon Solar Cell) และใช้ในอุปกรณ์ด้านทัศศาสตร์ชนิดแผ่นบาง (Thin Film Optical Device) หรือนำมาใช้เป็นตัวตรวจสอบกําช (Gas Sensor) เนื่องมาจากมีค่าการนำไฟฟ้าเปลี่ยนแปลงไปได้ตามองค์ประกอบของกําชที่สภาวะบรรยากาศ นอกจากนี้ยังมีการนำไทยานียมไดออกไซด์มาใช้เป็นวัสดุทางชีวภาพหรือวัสดุทางการแพทย์

ไทยานียมไดออกไซด์เกิดจากอะตอมของไทยานีบันทึกอะตอมของออกซิเจน ซึ่งการจับกันมีอยู่ด้วยกันหลายลักษณะ เพราะ ไทยานีบมีประจุเป็น Ti^0 , Ti^{2+} , Ti^{3+} และ Ti^{4+} ส่วนออกซิเจนมีประจุเป็น O_2^- ทำให้มีโอกาสรวมกันเป็น TiO ที่มีโครงสร้างเป็นเฟสเซ็นเตอร์ คิวบิก (Face Center Cubic, fcc) (TiO_x ($0.9 \leq x \leq 1.5$)) ซึ่งเป็นฟิล์มที่มีความแข็งมาก Ti_2O_3 มีโครงสร้างเป็นไคร โภนอล (Trigonal) และ TiO_2 มีโครงสร้างเป็นเตตรา โภนอล (Tetragonal) ซึ่งเป็นฟิล์มที่มีด้านนี้หักเหสูง โครงสร้างเหล่านี้มีการจับตัวกันด้วยพันธะสมของไอออนิก (Ionic) โคเวเลนต์ (Covalent) และพันธะโลหะ (Metallic) ฟิล์มเหล่านี้มีลักษณะที่โปร่งแสง ทั้งนี้สีของฟิล์มจะเปลี่ยนตามโครงสร้าง หรือปริมาณออกซิเจน โดยคือ ๆ เปลี่ยนจากสีเหลืองทอง (Golden Yellow) คือ TiO_{1+x} ($0 \leq x \leq 0.25$) ไปเป็นน้ำตาล (Brown) ไปเป็นสีน้ำเงินเข้ม (Dark Blue) และ ไปเป็นโปร่งใส ไม่มีสี (Transparent) คือ TiO_{1+x} ($0.95 \leq x \leq 1$) (Bally et al., 1998)

โดยทั่วไปไทยเนียมไดออกไซด์ตานธรรมาติมีเฟสอยู่ 3 เฟส คือ เฟสรูไทล์ (Rutile) มีโครงสร้างผลึกเป็นแบบเตตระโภนอล (Tetragonal) เฟสอนาคต (Anatase) มีโครงสร้างผลึกเป็นแบบเตตระโภนอล (Tetragonal) และ เฟสนบรูไกท์ (Brookite) มีโครงสร้างผลึกแบบอธอรอมบิก (Orthorhombic) สำหรับในการพิล์มนาง ไทยเนียมไดออกไซด์ปกติไม่พบเฟสนบรูไกท์ พนพีชย์ เฟสอนาคต รูไทล์และอสัมฐาน (Amorphous) เท่านั้น (Löbl et al., 1994) ทั้งนี้เฟสของ ไทยเนียมไดออกไซด์ที่สนใจคือ เฟสอนาคต และ เฟสรูไทล์ โดยที่ เฟสรูไทล์มีโครงสร้างที่เสถียรและมีค่าดัชนีหักเหสูงกว่า เฟสอนาคต จึงมีการนำไปใช้ในงานด้านการเคลือบทางแสง ส่วนเฟสอนาคตมีการนำมาใช้ในงานด้านการเคลือบตัวเร่งปฏิกริยาทางแสง

ทั้งนี้การเตรียมพิล์มนาง ไทยเนียมไดออกไซด์ เพื่อให้ได้โครงสร้างตามที่ต้องการ ทำให้จำเป็นต้องมีการปรับเปลี่ยนค่าตัวแปรที่ใช้ในกระบวนการเคลือบหลายค่า แล้วนำพิล์มนางที่ได้ไปวิเคราะห์ด้วยเครื่อง XRD เพื่อศึกษารูปแบบการเดี่ยวเบนของรังสีเอกซ์ และเบรย์บเทบตำแหน่งของรูปแบบการเดี่ยวเบนที่เกิดขึ้นกับแฟ้มข้อมูลการเดี่ยวเบนรังสีเอกซ์ของผลักผง (Joint Committee on Powder Diffraction Standard, JCPDS) ของ ไทยเนียมไดออกไซด์



ภาพที่ 2-1 เฟสของ ไทยเนียมไดออกไซด์

(a) = เฟสรูไทล์ (b) = เฟสอนาคต (c) = เฟสนบรูไกท์

Pattern: 71-1169		Radiation = 1.540600					
TiO ₂ (Anatase/ Titanium Oxide)		d(Å)	Intensity (%)	h	k	l	
Lattice: Body-centered tetragonal		3.53718	100	1	0	1	
S.G.:I41/amd (141)		2.45087	6	1	0	3	
a = 3.80400 c = 9.61400 z = 4	Mol. Weight = 79.90 Volume[CD] = 139.12 Dx = 3.815 Dm = 3.870 L/Icor = 4.80	2.40350	18	0	0	4	
		2.34733	7	1	1	2	
		1.90200	22	2	0	0	
		1.71604	13	1	0	5	
		1.67518	13	2	1	1	
		1.50261	2	2	1	3	
ICSD COLLECTION CODE: 009855		1.49149	9	2	0	4	
REMARKS FROM ICSD: REM TEM 1073.		1.37659	4	1	1	6	
TEST FROM ICSD: Calc. density unusual but tolerable.		1.34492	4	2	2	0	
TEMPERATURE FACTOR: ITF		1.29181	<1	1	0	7	
SAMPLE SOURCE OR LOCALITY: Specimen from Binntal, Wallis, Switzerland.		1.27411	6	2	1	5	
		1.25741	2	3	0	1	
		1.20175	<1	0	0	8	
		1.17906	<1	3	0	3	
		1.17367	3	2	2	4	
		1.16695	1	3	1	2	

*Calculated from ICSD using POWD-12++, (1997) primary reference:

*Z. Kristallogr., Kristallgeom., Kristallphys., Kristallchem., volume 136, page 273, (1972)

ภาพที่ 2-2 ข้อมูลการเดี่ยวบนรังสีเอกซ์ของผลึกไททาเนียมไดออกไซด์เฟสอนาคต

Pattern: 73-1765		Radiation = 1.540600				
TiO ₂ (Rutile/ Titanium Oxide)		d(Å)	Intensity (%)	h	k	l
Lattice: Tetragonal		3.24491	100	1	1	0
G.G.:P42/mmm (136)	Mol. Weight = 79.90	2.48387	46	1	0	1
a = 4.58900	Volume[CD] = 62. 21	2.29450	6	2	0	0
c = 2.95400	Dx = 4.266	2.18442	17	1	1	1
	I/Icor = 3.45	2.05226	5	2	1	0
		1.68543	45	2	1	1
		1.62246	14	2	2	0
ICSD COLLECTION CODE: 024277		1.47700	6	0	0	2
TEST FROM ICSD: No R value given.		1.45117	6	3	1	0
TEST FROM ICSD: At least one TF missing.		1.42208	<1	2	2	1
		1.35835	13	3	0	1
		1.34429	7	1	1	2
		1.30249	1	3	1	1
		1.27276	<1	3	2	0
		1.24194	1	2	0	2
		1.19931	1	2	1	2
		1.16888	3	3	2	1
		1.14725	2	4	0	0
		1.11300	1	4	1	0
		1.09221	4	2	2	2

*Calculated from ICSD using POWD-12++, (1997) primary reference:

*Z. Kristallogr., Kristallgeom., Kristallphys., Kristallchem., volume 104, page 358, (1942)

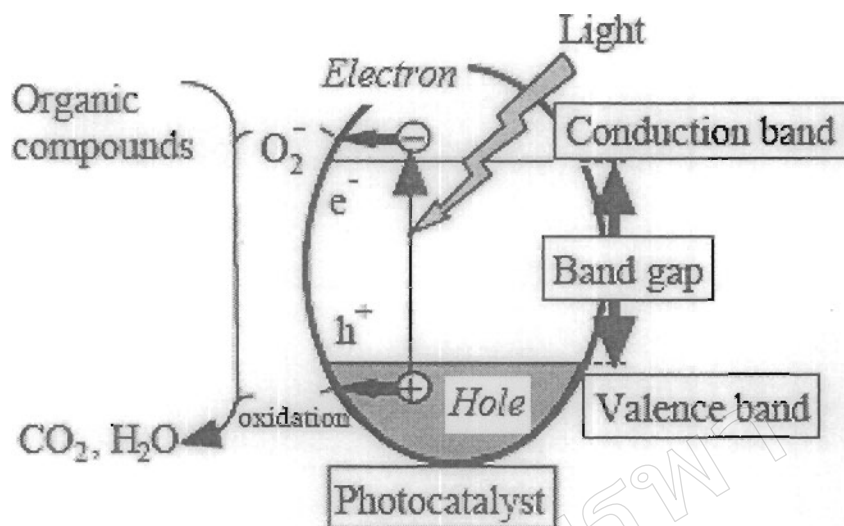
ภาพที่ 2-3 ข้อมูลการเดี่ยวแบบรังสีเอกซ์ของผลึกไททาเนียม ไครอค์เฟสต์ ไทด์

ทั้งนี้จากสมบัติที่ดีของ ไททาเนียม ไดออกไซด์ทำให้มีการนำไประบุกต์ใช้ในงานต่าง ๆ มากมายแต่ที่ได้รับความสนใจมาก คือนำมาเคลือบกระจกให้กระจกมีสมบัติเป็น โฟโตคະໄลซิส (Photocatalyst) หรือ ตัวเร่งปฏิกิริยาทางแสง และ ไฮdrophilicity (Hydrophilicity) หรือ สภาพขอบน้ำ ซึ่งสมบัติทั้งสองนี้เป็นสมบัติสำคัญของกระจกทำความสะอาดตัวเอง (Self-Cleaning Glass) สำหรับสมบัติทั้งสองของ ไททาเนียม ไดออกไซด์มีดังนี้ (มติ หอประทุม, 2548)

1. โฟโตคະໄลซิส ปัจจุบันการเคลือบผิวสัมภคด้วย โฟโตคະໄลซิส หรือ ตัวเร่งปฏิกิริยาแสง เป็นเทคโนโลยีที่ได้รับความสนใจอย่างมาก โดยเฉพาะอย่างยิ่งในประเทศไทยญี่ปุ่น เกาหลี ยุโรป และอเมริกา มีผลิตภัณฑ์ต่าง ๆ ที่เคลือบด้วยตัวเร่งปฏิกิริยาไวแสงถูกผลิตอย่างมาก เป็นจำนวนมาก เพราะพื้นที่พิเศษของตัวเร่งปฏิกิริยาไวแสงของ ไททาเนียม ไดออกไซด์สามารถเกิด สมบัติ ที่สามารถทำลายสิ่งปฏิกูลต่าง ๆ ในอากาศ น้ำ ไม่ว่าจะเป็นกลิ่นควันบุหรี่ กลิ่นเหม็น แก๊สพิษ เชื้อโรค หรือคราบสกปรกต่าง ๆ เมื่อมีแสงอาทิตย์หรือแสงไฟภายในห้องมาระบุ ทำให้ พลิกภัณฑ์ที่เคลือบผิวด้วย ไททาเนียม ไดออกไซด์มีความสามารถ ปลดปล่อยและมีความสวยงามมาก ขึ้น ช่วยลดค่าใช้จ่ายและเวลาในการทำความสะอาดลดลงภัณฑ์ และยังทำให้สภาพแวดล้อมต่าง ๆ ภายในที่อยู่อาศัยสะอาดมากขึ้น อย่างไรก็ตามในส่วนของประเทศไทยการประบุกต์ใช้เทคโนโลยี การเคลือบผิวสัมภคด้วยตัวเร่งปฏิกิริยาไวแสงในส่วนของภาคอุตสาหกรรม และการวิจัยยังถือเป็น เรื่องใหม่ และอยู่ในระยะเริ่มต้นของการพัฒนา

หลักการทำงานของ ตัวเร่งปฏิกิริยาทางแสง อธิบายได้ดังนี้ ไททาเนียม ไดออกไซด์เป็น สารก่อตัวชนิดเดื่อน (n-Type) เมื่อได้รับแสงที่มีพลังงานเท่ากับหรือสูงกว่าແນບพลังงานต้องห้าม (E_g) อิเล็กตรอนในແນບวากลันซ์ (Valence Band) จะถูกกระตุ้นให้ขึ้นไปอยู่ที่ແນบการนำ (Conduction Band) และทิ้งช่องว่างหรือ โอล (Hole) ไว้ในແນບวากลันซ์ ทำให้เกิดคู่ของอิเล็กตรอนกับโอล ($e_{cb}^- - h_{vb}^+$) เมื่อ ไททาเนียม ไดออกไซด์ที่ถูกกระตุ้นด้วยแสงดังกล่าวสัมผัสกับน้ำหรือออกซิเจน จะเกิดปฏิกิริยาคือ โอลจะออกซิไดซ์น้ำ ได้เป็น Hydroxyl Radical ส่วนอิเล็กตรอนจะเพิ่มเข้าไปยัง โนเลกูลออกซิเจนเกิดเป็น Super Oxide (O_2^-)

อิเล็กตรอนและโอลที่ได้จากการขึ้นแรก จะเป็นตัวออกซิไดซ์ และคิวเรดิวซ์ ให้กับฟลัมบาง ไททาเนียม ไดออกไซด์ ส่วน Super Oxide และ Hydroxyl Radical ที่ได้ในขั้นต่อมา จะทำหน้าที่ในการย่อยสลายอินทรีย์ต่าง ๆ ให้ครั้นบน ไดออกไซด์และน้ำ ดังภาพที่ 2-4 หลักการนี้ ถูกนำไปใช้ในการพัฒนากระจกทำความสะอาดตัวเอง



ภาพที่ 2-4 กลไกการเกิดไฟฟ้ากระแสไฟฟ้าสต็อกไทด์ของไททาเนียมไออกไซด์ (Kathirvelu et al., 2008)

2. สมบัติไฮดรophilic สมบัติสำคัญอย่างหนึ่งของไททาเนียมไออกไซด์คือ ไฮดรophilic เมื่อกระจายเคลื่อนไหทาเนียมไออกไซด์ถูกกระตุ้นด้วยแสงอัลตราไวโอลেต แล้วสัมผัสกับน้ำจะทำให้เกิดหมูไฮดรอกซิล ซึ่งช่วยให้ไททาเนียมไออกไซด์มีสมบัติการขับน้ำ สร่งผลให้หยอดน้ำที่เกาะบนพื้นผิวน้ำกระจายน้ำไม่สามารถเป็นรูปหยดน้ำได้ แต่แผ่กระจายออกในลักษณะของฟิล์มน้ำ ๆ ของน้ำปากคลุ่มพิวอย่างสม่ำเสมอ เมื่อจากนั้นสัมผัสระหว่างหยดน้ำกับพื้นผิวกระจกที่เคลื่อนด้วยฟิล์มไททาเนียมไออกไซด์มีค่าต้านทานเจลเป็นสูง (Super-Hydrophilicity) จากปรากฏการณ์ในลักษณะดังกล่าวนี้ จึงมีการนำมาใช้งานกับกระจกห้องน้ำหรือกระจกบังลมหน้า และหลังของรถยนต์เพื่อป้องกันการเกิดฝ้า เป็นต้น

กระบวนการโซลเจล

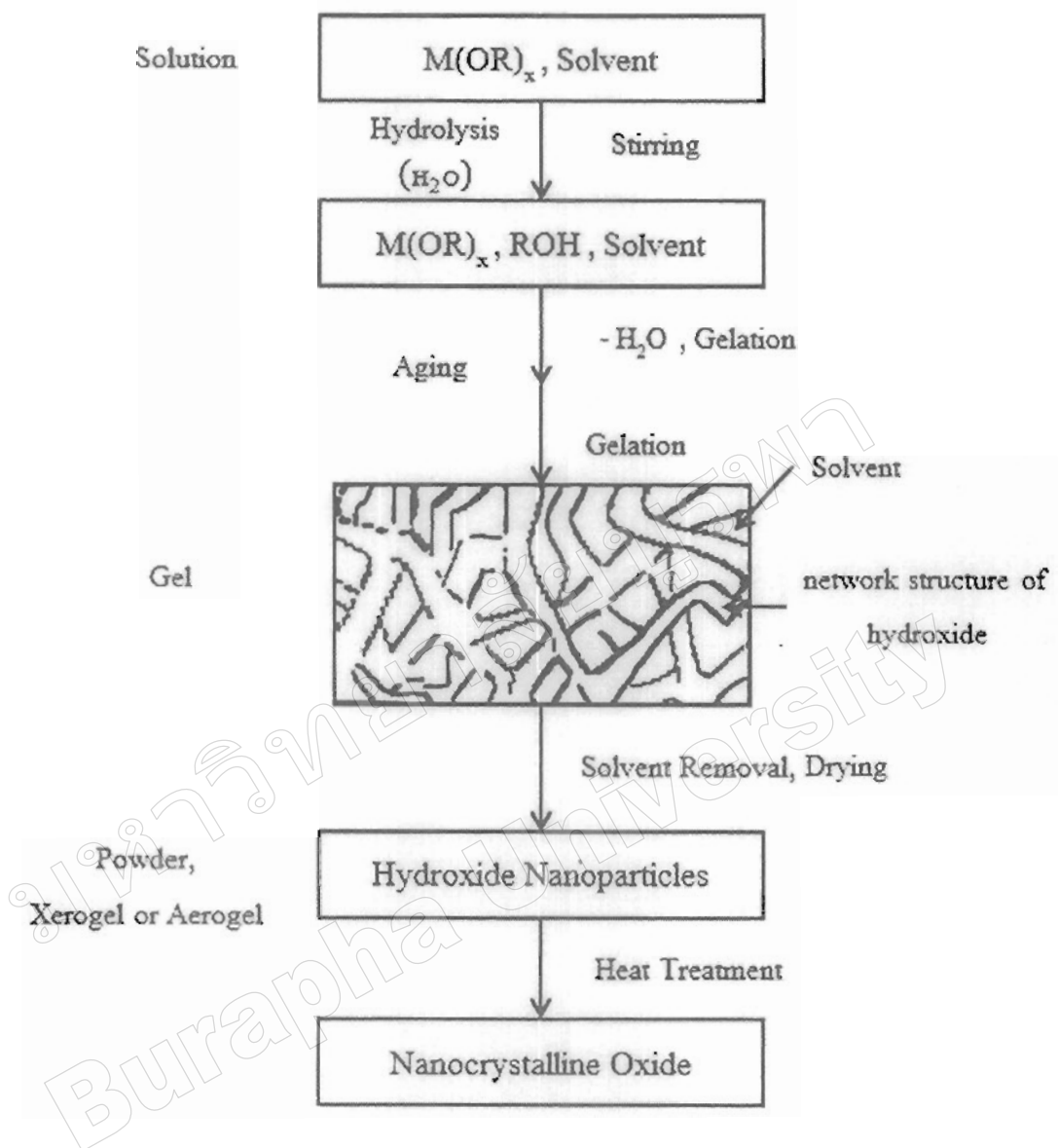
การเคลือบพิล์มสามารถทำได้หลายวิธีทั้งในบรรยายการและสัญญาการ ซึ่งแต่ละวิธีก็มีข้อดี-ข้อเสีย แตกต่างกัน แต่วิธีหนึ่งที่ง่ายและสะดวกคือ วิธีโซลเจล (Sol-Gel) เป็นวิธีการเตรียมสารละลายในการสร้างวัสดุกลุ่มเซรามิก ซึ่งเป็นการสังเคราะห์เซรามิกหรือแก้วจากสารเคมีที่เป็นกolloidal ผ่านขั้นตอนของการทำให้เกิดอนุภาคขนาดแข็งแหวนลักษณะที่เป็นกolloidal โดยแรงที่กระทำกันโน้มถ่วง ส่วนใหญ่เป็นแรงวนเดอร์วาร์ฟ (Van der Waal's Force) และแรงประจุที่ผิว

การเคลือบผิวด้วยเทคนิค โซลเจลนี้ มีลักษณะของสารในหลายรูปแบบเกิดขึ้นได้แก่

1. โซล (Sol) เป็นกolloidal ที่เป็นอนุภาคของแข็งแหวนลักษณะที่เป็นกolloidal
2. แอโรโซล (Aerosol) เป็นการแหวนลักษณะของกolloidal ในก๊าซ
3. ฟ็อก (Fog) เป็นกolloidal ที่เป็นอนุภาคของเหลวแหวนลักษณะที่เป็นกolloidal
4. สมोก (Smoke) เป็นกolloidal ที่เป็นอนุภาคของแข็งแหวนลักษณะที่เป็นกolloidal
5. อิมลชัน (Emulsion) เป็นการแหวนลักษณะของหยดของเหลวในของเหลวชนิดอื่น
6. เจล (Gel) เป็นกolloidal ที่เป็นของแข็งที่เกิดจากของแข็งแหวนลักษณะที่เป็นกolloidal

โซล คือ การแหวนลักษณะของอนุภาคของแข็งในของเหลว โดยมีความหนาแน่นอนุภาคของของแข็งมากกว่าของเหลวที่อยู่รอบ ๆ อนุภาคของแข็งที่อยู่ภายในของเหลวมีขนาดเล็กมาก (~1 - 1000 nm) จนมีแรงต้านทานแรงโน้มถ่วง ไม่มีการตกตะกอนและมีการกระจายตัวอยู่ทั่วไป โดยที่กolloidal บางชนิดจะเปลี่ยนสภาพจาก โซล ไปเป็นเจล หรือเจล ไปเป็น โซล ได้ขึ้นอยู่กับสภาวะต่าง ๆ เช่น อุณหภูมิ

เจล เป็นกolloidal ที่มีโครงสร้างของของแข็งเกิดเป็นโครงข่ายเชื่อมโยง 3 มิติ และมีความพรุนที่กระชับกลุ่มอยู่ทั่วเฟสของเหลว มีขนาดไม่แน่นอนขึ้นอยู่กับภาระที่บ่อบรร负 ถ้าโครงข่ายของของแข็งเกิดจาก โซล ที่เป็นอนุภาคกolloidal เจลที่เกิดขึ้นเรียกว่า กolloidal เจล (Colloidal Gel) ถ้าโครงข่ายของของแข็งเกิดจากอนุภาคที่มีขนาดเล็กกว่า กolloidal เจล ที่เกิดขึ้นเรียกว่า โพลีเมอริกเจล (Polymeric Gel) เมื่อผ่านการกำจัดตัวทำละลาย (Solvent) และการทำให้แห้ง ที่เหมาะสม จะทำให้ได้ผลของโลหะออกไซด์ที่มีลักษณะที่ดี เนื่องจากกระบวนการเริ่มต้นในหน่วยนาโนเมตร และอยู่ภายในรูปแบบที่ได้แก้ไขไว้ในระดับนาโนเมตร ดังนั้นวัสดุที่ได้ออกมาจะมีขนาดที่ต่ำกว่า 2-5 ไมครอน

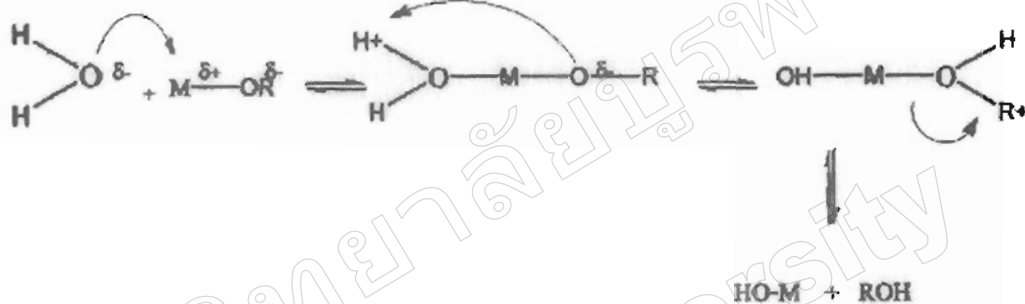


ภาพที่ 2-5 กระบวนการโซลเจลของโลหะออกไซด์ระดับนาโน (สรรัตน์ บุญยุทธ์, 2552)

การเกิดไฮดรอลิกซิส (Hydrolysis) ของโลหะแอลกอไชด์ ($M(OR)_z$) เกี่ยวข้องกับปฏิกิริยาการแทนที่นิวเคลียฟิลิก (Nucleophilic Substitution) ด้วยน้ำดังสมการ



กลไกการเกิดปฏิกิริยาเริ่มจากการเดินของประจุลบ OH^- เข้าที่โลหะที่มีประจุบวก ($M^{δ+}$) จากนั้น proton ที่มีประจุบวกจะถูกข้ายมาที่หมู่แอลกอไชด์ (Alkoxy) ตามด้วยการกำจัด ROH ออก



การรวมตัวกัน (Condensation) เกิดขึ้น เมื่อไมเลกุลไฮดรอกไซด์เข้มเข้าด้วยกัน ทำให้ไมเลกุลของน้ำออกมานะเจลหรือโครงร่างตาข่ายของไฮดรอกไซด์จะเกิดขึ้นดังสมการ



อัตราการเกิดไฮดรอลิกซิสและการรวมตัวกัน เป็นปัจจัยสำคัญที่มีผลต่อสมบัติของผลผลิตสุดท้าย การควบคุมให้เกิดไฮดรอลิกซิสอย่างช้า ๆ ทำให้ขนาดของอนุภาคเล็กลงและมีสมบัติเฉพาะตัว กล่าวโดยสรุปเทคนิคไฮดรอกไซด์ เป็นเทคนิคที่ใช้สำหรับเตรียมเซรามิกหรือแก้ว มีข้อดีและข้อเสียหลายประการ ดังแสดงในตารางที่ 2-1

สารที่ได้จากการกระบวนการไฮดรอกไซด์ นำไปใช้ประโยชน์ในการเคลือบเครื่องมือต่าง ๆ เช่น เคลือบป้องกันการสะท้อน (Antireflective Coating) การเคลือบผิวเพื่อป้องกันการขีดข่วน และการทำปฏิกิริยาต่าง ๆ หรือการประยุกต์โดยการนำสารที่ได้จากการกระบวนการไฮดรอกไซด์ไปใช้ในการเคลือบฟิล์มด้วยภาพ

ตารางที่ 2-1 การเปรียบเทียบข้อดีและข้อเสียของเทคนิค โซลเจล

ข้อดี	ข้อเสีย
1. ได้โครงสร้างเอกพันธ์	1. สารเคมีราคาสูง
2. ได้ผลิตภัณฑ์ที่มีความบริสุทธิ์สูง	2. เกิดการหดตัวมากระหว่างการผลิต
3. ทำงานที่อุณหภูมิต่ำ	3. เกิดช่องว่างขนาดเล็กในโครงสร้าง
4. ได้ของแข็งอ่อนสัมภานชนิดใหม่	4. สารละลายอินทรีย์บางชนิดเป็นอันตราย
5. ได้ของแข็งที่มีโครงสร้างผลึกชนิดใหม่	5. ใช้เวลานาน
6. ได้เจลที่มีคุณสมบัติจำเพาะ	

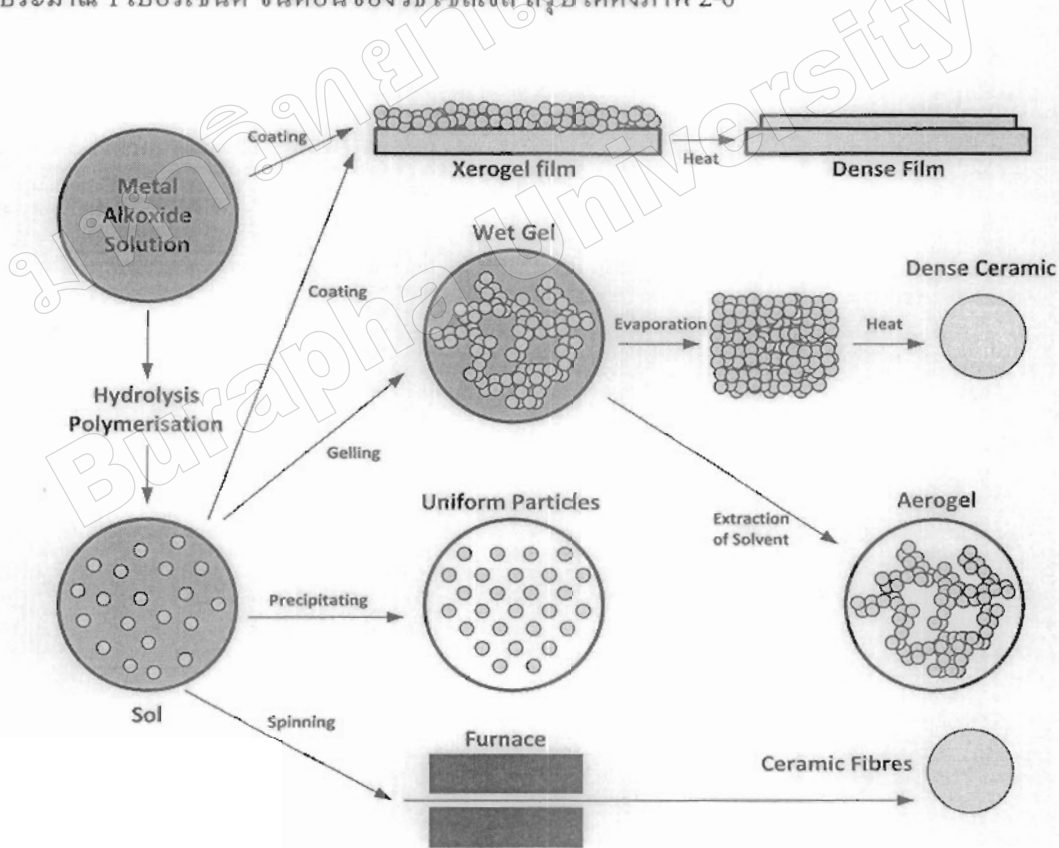
ที่มา : สารัตน์ นุญญาหงษ์ (2552)

การเคลือบฟิล์มนางด้วยวิธีโซลเจล

การเคลือบฟิล์มนางด้วยวิธีโซลเจล เริ่มจาก การเตรียมสารประกอบตั้งต้น (Precursor) สำหรับเตรียมคอลลอยด์ซึ่งประกอบด้วยโลหะ (Metal) หรือโลหะผสม (Metalloid) ซึ่งถูกด้อมร้อนไปด้วยลิกแคนด์ (Ligand) ต่าง ๆ เทคนิคโซลเจลนี้สามารถใช้สารประกอบตั้งต้นหลากหลาย ที่นิยมมากที่สุด คือ โลหะอัลกอไไซด์ (Metal Alkoxides) ซึ่งเป็นสารประกอบสารอินทรีย์ที่มักมีพันธะกันอะตอมของโลหะ โดยสารที่นิยมใช้มากที่สุด คือ ซิลิกอนเตตราโทกไไซด์ (Silicon Tetrathoxide) หรือที่เรียกว่า เตตราเอಥอกซิไซเลน (Tetraethoxsilane: TEOS, $\text{Si}(\text{OC}_2\text{H}_5)_4$) เป็นโลหะอัลกอไไซด์ที่นิยมใช้เป็นสารตั้งต้น เนื่องจากสามารถเกิดปฏิกิริยากับน้ำ ได้อย่างรวดเร็ว โดยปฏิกิริยานี้เรียกว่า ปฏิกิริยาไฮโดรโลไซซิส (Hydrolysis)

ทั้งนี้ วีรนุช แก้ววิเศษ (2551) ได้อธิบายขั้นตอนการเตรียมสารเคลือบหรือชั้นเคลือบจากเทคนิคโซลเจล ดังนี้ การเกิดเจลเป็นสารที่ประกอบด้วย โครงสร้างต่อเนื่องของของแข็งปักถั่นหัวเฟสของเหลว ซึ่งความต่อเนื่องของโครงสร้างของเจล ทำให้เจลมีความยืดหยุ่น ซึ่งแสดงความสามารถเกิดจากสารละลายได้ เมื่อเกิดแรงกระแทกแรงจะแตกหักเป็นชิ้นๆ ไม่สามารถกลับคืนสภาพเดิมได้ โดยทั่วไปเจลจะขึ้นอยู่กับการรวมตัวระหว่าง โครงสร้างของของแข็งและตัวกลางของเหลว ถ้าของเหลวประกอบด้วยน้ำ เป็นส่วนใหญ่จะเรียกเจลนั้นว่า เอควาเจล (Aquagel) หรือ ไฮดรเจล (Hydrogel) แต่ถ้าของเหลวประกอบด้วยแอลกอฮอล์ เป็นส่วนใหญ่จะเรียกเจลนั้นว่า อัลโคเจล (Alcogel) การเกิดเจล (Gelatin) อาจเกิดได้จากการระเหยอย่างรวดเร็วของตัวทำละลาย ซึ่งเกิดขึ้นในระหว่างการเตรียมฟิล์มหรือไฟเบอร์ โครงร่างแห้งจะเคลื่อนย้ายต่อไปยังตำแหน่งต่าง ๆ จนเกิดการควบแน่นต่อไปเรื่อย ๆ คือมีทั้งโซล และ โครงร่างแห้งของเจล และ

โพลิเมอร์เล็ก ๆ ที่อนุภาคยังสามารถเชื่อมต่อและกระทำให้เกิดเป็นโครงข่ายเชื่อมโยง หลังจาก การเกิดเจลแล้วจะทำการบ่มสาร (Aging) เพื่อให้เกิดการเปลี่ยนแปลงโครงสร้างและสมบัติหลัง การเกิดเจล ซึ่งการบ่มสารอาจรวมถึงการเกิดการควบแน่น การละลายตัว และการตกตะกอนใหม่ การหดตัวของเจล (Shrinkage) อาจเกิดขึ้นได้ในระหว่างการสังเคราะห์ หรือการระเหยของ ของเหลวในระหว่างการอบแห้ง รวมถึงการเปลี่ยนแปลงรูปร่างของโครงร่างแท้ และการໄล์น้ำออก จากรูพรุน การอบแห้ง (Drying) ทำโดยการระเหยภายใต้สภาวะปกติ จะทำให้เกิดการหดตัวของ โครงสร้างของเจลทำให้ปริมาตรลดลง 5 ถึง 10 เท่าจากเดิม ซึ่งเจลที่เกิดจากการอบแห้งที่สภาวะ ปกติเรียกว่า ซีโรเจล (Xerogel) แต่ถ้านำไปอบแห้งในเครื่องอบความร้อนสูง (Autoclave) ภายใต้ สภาวะเหนืออิกุต (Supercritical Condition) ซึ่งไม่มีขั้นผิวสัมผัสระหว่างของเหลวและไอน้ำ คั่งน้ำจึงไม่มีแรงดันค่าปัลวารี (Capillary Pressure) ทำให้เกิดการหดตัวเพียงเล็กน้อยของเจล พลิตภัณฑ์ที่ได้จากการอบแบบนี้เรียกว่า แอโรเจล (Aerogel) ซึ่งได้จากของแข็งที่มีขนาดเล็กลง ประมาณ 1 เมตร เช่นเดียวกับขนาดของวิชีโซลเจล สรุปได้ดังภาพ 2-6



ภาพที่ 2-6 แผนภาพแสดงขั้นตอนของวิธีโซลเจล

การเตรียมเคลือบฟิล์มบางด้วยเทคนิคจุ่มเคลือบ

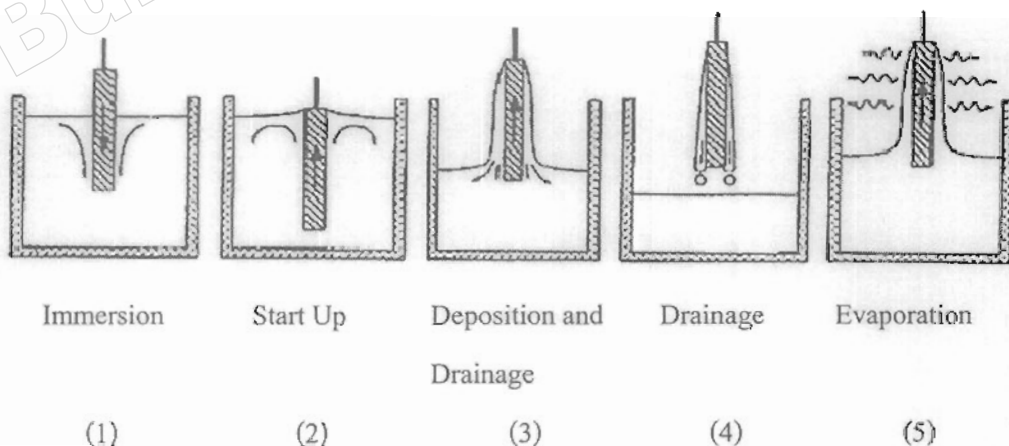
การเคลือบฟิล์มด้วยวิธีการจุ่มเคลือบแบ่งเป็น การจุ่มเคลือบแบบกะ (Batch Dip Coating) และการจุ่มเคลือบแบบต่อเนื่อง (Continuous Dip Coating) (สรรัตน์ บุญญาวงศ์, 2552) ซึ่งมีรายละเอียดดังนี้

1. การจุ่มเคลือบแบบกะ ใน การจุ่มเคลือบแบบนี้สามารถแบ่งขั้นตอนในขณะเคลือบได้ 5 ขั้นตอน ดังแสดงในภาพที่ 2-7 ดังนี้

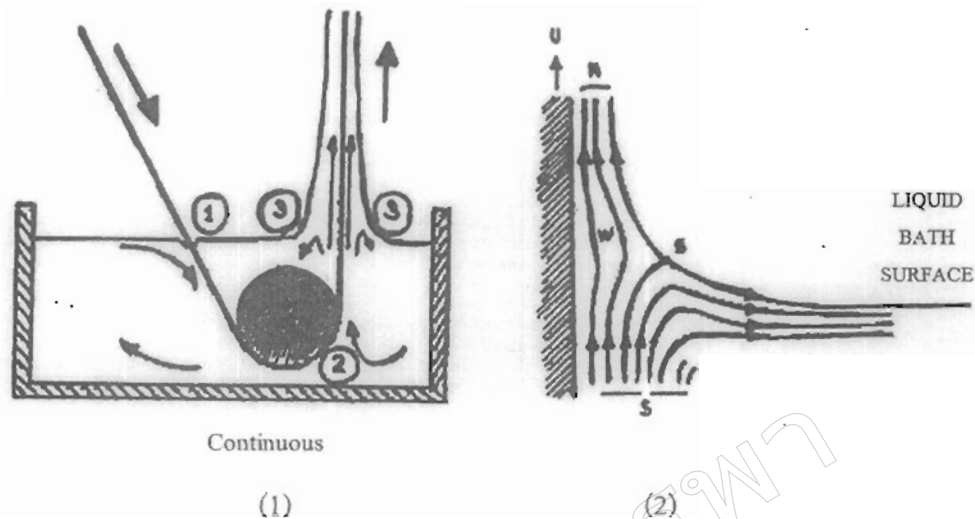
- 1.1 การจุ่มชิ้นงาน (Immersion)
- 1.2 การเริ่มต้นดำเนินงานขึ้น (Start up)
- 1.3 สารละลายเกาะที่ผิวชิ้นงานและเริ่มไหลขึ้นคลับ (Deposition & Drainage)
- 1.4 สารละลายไหลแยกออกจากชิ้นงาน (Drainage)
- 1.5 สารละลายระเหย (Evaporation)

สำหรับตัวทำละลายที่ระเหยง่าย เช่น แอลกอฮอล์ ขั้นตอนการระเหยจะเกิดขึ้นพร้อมๆ กับขั้นตอน 1.2, 1.3 และ 1.4

2. การจุ่มเคลือบแบบต่อเนื่อง การจุ่มเคลือบแบบต่อเนื่องต่างกับการจุ่มเคลือบแบบกะ คือไม่มีการแยกขั้นตอนที่ 1.2 และ 1.5 ของการจุ่มเคลือบแบบกะออกจากกัน แต่แยกขั้นตอนการจุ่มชิ้นงานลงในสารละลายออกจากขั้นตอนอื่น โดยชิ้นงานจะถูกดึงผ่านสารละลาย และทำให้เกิดชั้นของเยื่อของของเหลวที่บริเวณระหว่างฟิล์มของสารละลายที่เกาะชิ้นงานกับผิวน้ำของสารละลายในอ่างเคลือบ



ภาพที่ 2-7 การจุ่มเคลือบแบบกะ (สรรัตน์ บุญญาวงศ์, 2552)



ภาพที่ 2-8 การถุ่มเคลือบแบบต่อเนื่อง (สรรัตน์ บุญยุทธงค์, 2552)

ขั้นตอนเบตันนี้แบ่งออกได้เป็น 2 ส่วน กือ ขั้นตอนเบตด้านในและขั้นตอนเบตด้านนอก ขั้นตอนเบตด้านในจะเกิดขึ้นกับชิ้นงานและเคลื่อนที่ขึ้นไปพร้อมกับชิ้นงาน ส่วนของเบต ขั้นนอกจะเคลื่อนที่กลับลงมา ความหนาของฟิล์มที่เคลือบอยู่บนชิ้นงานนั้นจะมีความสัมพันธ์กับ ตำแหน่งของจุดที่แบ่งระหว่างขั้นตอนเบตด้านนอกและขั้นตอนเบตด้านใน โดยที่บริเวณแห่งนี้มี แรงกระทำเกิดขึ้นอยู่ 6 แรง กือ

1. แรงดึงที่เกิดจากความหนืดที่ดึงของเหลวขึ้น เมื่อชิ้นงานเคลื่อนที่ขึ้นด้านบน
2. แรงโน้มถ่วง
3. แรงดันที่เกิดจาก ผลรวมของแรงตึงผิวในบริเวณที่เป็นรอยต่อของฟิล์มที่เกาะกับ ชิ้นงานกับสารละลายในอ่างเคลือบซึ่งมีผิวน้ำว้าวเข้า (Concavely Curve Meniscus)
4. แรงนื้อยของชั้นของเบตของของเหลวในบริเวณที่ของเหลวเกาะกับชิ้นงาน
5. แรงที่เกิดจากผลต่างของแรงตึงผิว
6. แรงที่เกิดจากความดันที่ไม่สม่ำเสมอ

วิธีการเคลือบด้วยเทคนิคโซลเจลนั้น การระเหยมักจะขึ้นอยู่กับการแข็งตัวของฟิล์ม ที่เคลือบ โดยปัจจัยที่สำคัญที่สุดของอัตราการระเหยนั้น กือ อัตราการแพร่ของไอที่แพร่ออกจาก ผิวน้ำของฟิล์ม ซึ่งจะขึ้นอยู่กับการเคลื่อนที่ของก้าช ที่ขั้นตอนเบตบาง ๆ ที่ติดอยู่กับผิวน้ำ ของฟิล์ม เนื่องจากการพามวลด้วยการเคลื่อนที่ของก้าชเพียงเล็กน้อยก็สามารถทำให้เกิด การแพร่เพิ่มขึ้นได้อย่างมาก

การหาลักษณะเฉพาะของฟิล์มนาง

ลักษณะเฉพาะหรือสมบัติต่าง ๆ ของฟิล์มนางสามารถวิเคราะห์หรือหาได้จากเทคนิคต่าง ๆ หลายเทคนิค งานวิจัยนี้ศึกษาลักษณะเฉพาะของฟิล์มนางต่อไปนี้ คือ โครงสร้างผลึกลักษณะพื้นผิว และ สมบัติไฮโดรฟิลิก ด้วยเทคนิคต่าง ๆ ดังนี้

1. การศึกษาโครงสร้างผลึกด้วยเครื่อง X-Ray Diffractrometer (XRD) ลักษณะเฉพาะสำคัญอย่างหนึ่งของฟิล์มนางคือการศึกษาโครงสร้างผลึก หรือ เฟส ซึ่งสามารถวิเคราะห์ได้ด้วยเทคนิคการวิเคราะห์การเลี้ยวเบนรังสีเอกซ์ (Diffraction Analysis) ซึ่ง กมล เอี่ยมพนากิจ (2547) ได้อธิบายหลักการของเทคนิคนี้ไว้ดังนี้ การวิเคราะห์การเลี้ยวเบนรังสีเอกซ์เป็นเทคนิคที่ใช้สำหรับการแยกแยะโครงสร้างของสารที่ใช้ในการเคลือบ โดยการวิเคราะห์อาศัยการเปรียบเทียบรูปแบบการเลี้ยวเบนกับมาตรฐาน JCPDS (Joint Committee on Powder Diffraction Standard) ของสารนั้น ดังนั้น X-Ray Diffraction เป็นอุปกรณ์สำหรับวัดค่าความเข้มของรังสีเอกซ์ที่สะท้อนจากผลึก ใช้หลักการของการเลี้ยวเบนของคลื่นโดยพบว่ารังสีเอกซ์เลี้ยวเบนได้เมื่อให้ตกลงบนผลึก ซึ่ง Bragg ได้เสนอแนวคิดว่าเราสามารถมองผลึกประกอบด้วย ระนาบ (Plane) ของอะตอมซึ่งสามารถสะท้อนคลื่นที่ตกกระทบโดยมุมตugal ระหว่างนั้น ทำให้เกิดแรงคูลอมบ์กระทำบนอะตอมนิเล็กตรอนที่ P กับ Q ให้สัมภาระความถี่เดียวกับรังสีเอกซ์ที่ตกกระทบ และอะตอมนั้นแผ่คลื่นแม่เหล็กไฟฟ้าเป็นรังสีเอกซ์ออกไปทุกทิศทางแต่ในทิศทาง 1' และ 2' ซึ่งเมื่อรังสีเอกซ์สะท้อนออกจากกระนาบของผลึกจะไปแทรกสอดแนวๆ เสริมกัน (In Phase) แม้ว่าแบบจำลองที่กล่าวมาจะไม่ถูกต้องในทางกายภาพเนื่องจากแท้จริงแล้วรูปแบบของอะตอมไม่ได้สะท้อนคลื่นแต่วิธีนี้ก็ใช้ได้ในทางเรขาคณิต พิจารณา

$$\delta = n\lambda \quad (2-1)$$

เมื่อ δ คือ Path Difference

λ คือ Wavelength

n คือ Integral of Wavelength

จากภาพที่ 2-9

$$\delta = SQ + QT = 2SQ \quad (2-2)$$

จากกฎปรีโภณมิติพื้นฐาน

$$\delta = 2PQ\sin\theta \quad (2-3)$$

โดย PQ คือ ระยะห่างระหว่างร่อง d_{hkl}

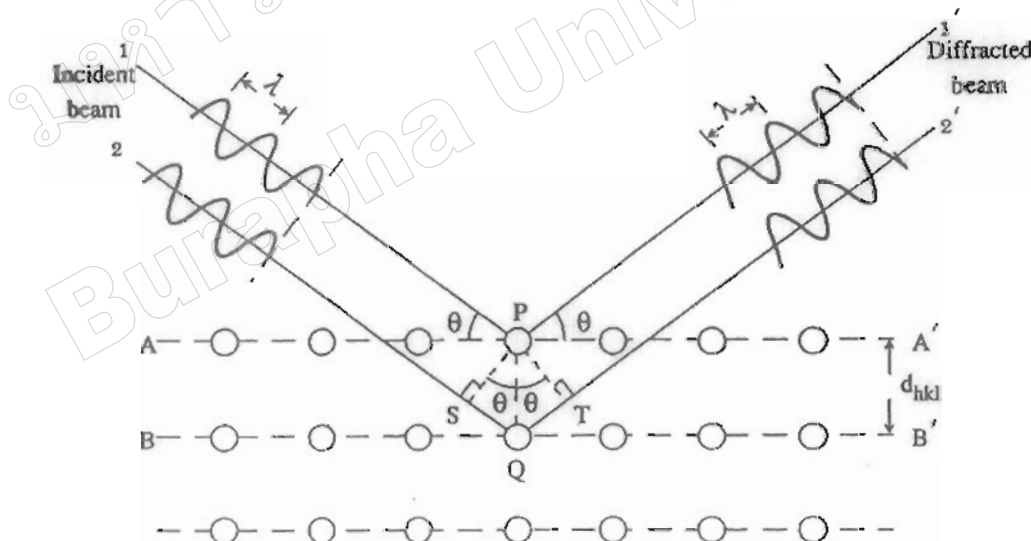
$$\delta = 2ds\sin\theta \quad (2-4)$$

จากสมการ (2-3) เท่ากับ (2-4) จะได้

$$2d_{hkl}\sin\theta = n\lambda \quad (2-5)$$

เรียกสมการที่ (2-5) นี้ว่า สมการการเดี่ยวบนรังสีเอกซ์จากผลึก (Bragg's Law)

โดยที่ λ เป็นความยาวคลื่น n เป็นลำดับของการสะท้อน d_{hkl} เป็นระยะห่างระหว่างร่องนาบ (hkl) และ θ เป็นมุมตักระบทและมุมสะท้อนเมื่อวัดจากแนวร่องนาบที่กำลังพิจารณา



ภาพที่ 2-9 แบบจำลองการเรียงตัวของอะตอม (กมล เอี่ยมพาณิช, 2547)

ในภาพที่ 2-9 เป็นแบบจำลองสำหรับการพิสูจน์คุณภาพของเบอร์ก์ อะตอมเรียงตัวเป็นระเบียบโดยมีระยะห่างระหว่างอะตอมใกล้เคียงกับความยาวคลื่นของรังสีเอกซ์ ($\sim 10^{-10}$ m) จะทำให้น้ำที่เป็นเมื่อไনเกรตติงเลี้ยวเบนแต่จะเป็นเกรตติงเลี้ยวเบนแบบ 3 มิติ

สัญญาณที่ตรวจจับได้จะแสดงออกมาในรูปแบบของการเลี้ยวเบนรังสี (Diffraction Pattern) ความเข้มของสัญญาณขึ้นอยู่กับถ่ายแฟลกเตอร์ด้วยกัน เช่น โครงสร้างของวัสดุ ปริมาตรของวัสดุที่แผรงสี (Volume of Irradiated Material) รูปทรงของการหักเห (Diffraction Geometry) และการวางชิ้นงาน (Sample Alignments) เป็นต้น

ตำแหน่งของพีค ที่มีค่ามากที่สุดสามารถถือเป็นขนาดและรูปร่างของหน่วยเซลล์ได้ ในขณะที่ความกว้างให้หาค่าขนาด การจัดเรียงตัว (Orientation) และความเครียด (Strain) ภายในเกรนของวัสดุถ่ายผลึก กรณีของการศึกษาขนาดของผลึกจากการรายงานการวิจัยของ Kim et al. (2002) ได้ทำการศึกษาขนาดของผลึกไฟฟานียม โคอกไซด์ที่อบฟิล์มบางด้วยอุณหภูมิต่างๆ โดยอาศัย Scherrer Equation ดังสมการ

$$L = \frac{k\lambda}{\beta \cos \theta} \quad (2-6)$$

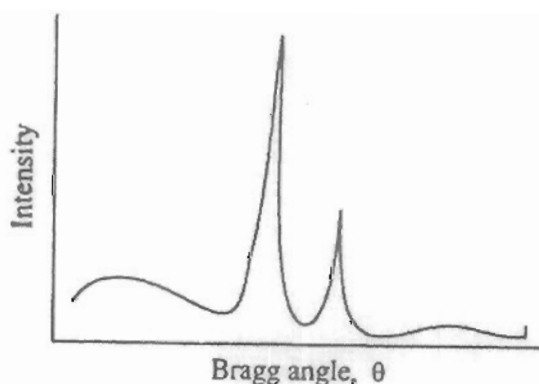
เมื่อ L คือ ขนาดของผลึกฟิล์มไฟฟานียม โคอกไซด์

k คือ ค่าคงที่เท่ากับ 0.94

λ คือ ความยาวคลื่นของรังสีเอกซ์ ($CuK_{\alpha} = 1.5406 \text{ \AA}$)

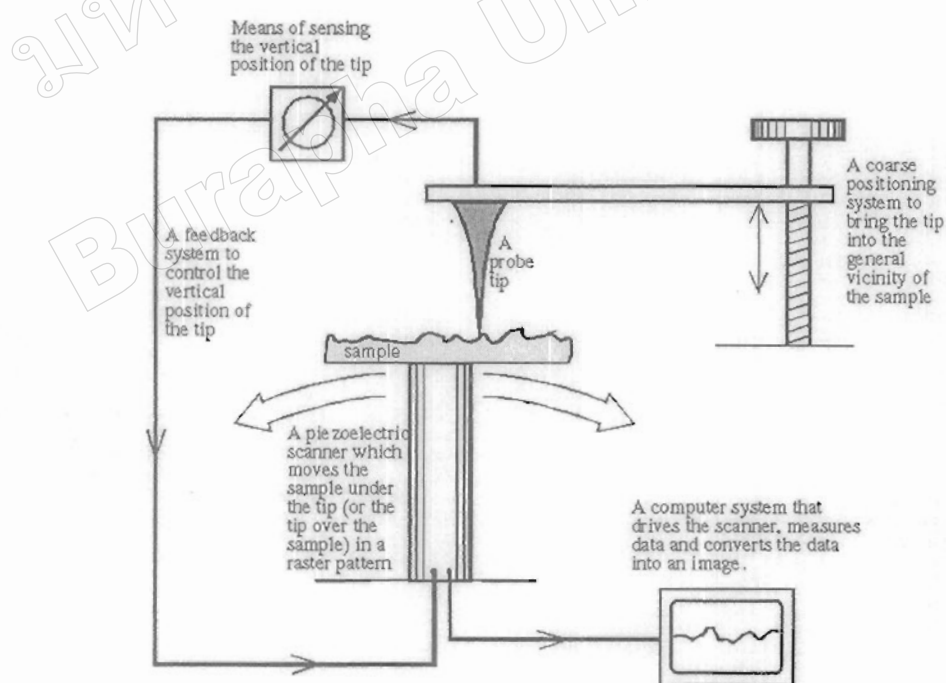
β คือ ความกว้างครึ่งหนึ่งของพีคที่มีค่าความเข้มสูงสุด

θ คือ ครึ่งหนึ่งของมุมตรงจุดศูนย์กลางพีค

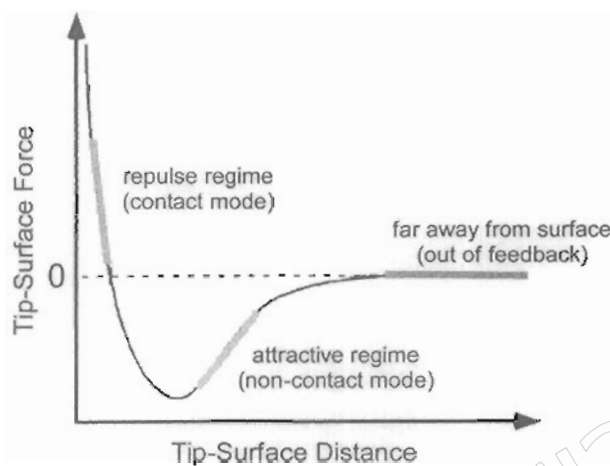


ภาพที่ 2-10 ความเข้มของพีคที่แสดงถึงขนาดผลึกของวัสดุในตำแหน่งที่มีการสะท้อนรังสี (กมล เอี่ยมพนาภิช, 2547)

2. การศึกษาลักษณะพื้นผิวด้วยเครื่อง Atomic Force Microscopy (AFM) ลักษณะเฉพาะสำคัญอีกประการหนึ่งของฟิล์มบางคือ ลักษณะพื้นผิวและความหนา เทคนิคที่นิยมใช้ในการศึกษาความหนาและลักษณะพื้นผิวของฟิล์มบางในระดับนาโน คือ Atomic Force Microscopy (AFM) ซึ่ง ชตุพร วุฒิกนกกาญจน์ (2542) ได้อธิบายหลักการทำงานของเครื่อง AFM ไว้ว่านี้ เทคนิค Atomic Force Microscopy เป็นการสร้างภาพของผิววัสดุจากแรงกระทำระหว่างผิววัสดุกับตัวตรวจวัดที่ทำจากเข็มขนาดเล็ก (Probe Tip) และเป็นเทคนิคหนึ่งในกลุ่มของ Scanning Probe Microscopy (SPM) ซึ่งเป็นกลุ่มเทคนิคที่สามารถใช้ในการศึกษาสภาพพื้นผิวของวัสดุประเภทต่าง ๆ ได้ หลักการพื้นฐานคือ การใช้เข็มตรวจวัดขนาดเล็กที่ทำจากซิลิโคนในไตรด์ (Silicon Nitride, Si_3N_4) เคลื่อนที่กราด (Scan) ไปทั่วบริเวณต่าง ๆ ของผิววัสดุ โดยมีตัวเพิ่บไฟ อิเล็กทริกสแกนเนอร์ (Piezoelectric Scanner) เป็นตัวควบคุม สภาพผิวที่แตกต่างกันไปจะก่อให้เกิดการเปลี่ยนแปลงกับเข็มตรวจวัดแตกต่างกันไป โดยตัวคานมีเข็มเกาะติดอยู่จะมีการโค้งงอ (Bending) ปริมาณการโค้งงอนี้สามารถตรวจวัดได้โดยใช้โฟโตเดเตอร์ (Photo-Detector) ดังภาพที่ 2-11 ภาพที่ได้จากการศึกนิกนี้จะสอดคล้องตามสภาพพื้นผิวในแต่ละบริเวณที่ตรวจสอบ ในเทคนิค AFM นี้ ต้องที่ทำให้คานที่มีเข็มเกาะอยู่เกิดการโค้งงอขึ้นถ้าแรงกระทำระหว่างอะตอม ซึ่งอาจจะเป็นแรงดึงดูดหรือแรงผลักดันได้ขึ้นอยู่กับระยะห่างระหว่างเข็มปลายแหลมกับพื้นผิว



ภาพที่ 2-11 องค์ประกอบหลักของเครื่อง Scanning Probe Microscope (อุดิศร บูรพาวงศ์, 2551)



ภาพที่ 2-12 ลักษณะของแรงกระทำระหว่างอะตอมที่เกิดขึ้นในระบบห่างระหว่างวัตถุต่าง ๆ
(อดิศร บูรณวงศ์, 2551)

การเก็บข้อมูลคุณภาพนิค AFM สามารถใช้เก็บข้อมูลได้ 4 ลักษณะ (Mode) ดังนี้ ก็อ

1. Contact Mode เป็นการศึกษาสภาพผิวขั้นจานโดยการขับให้เข้ม ไถ (Slide)

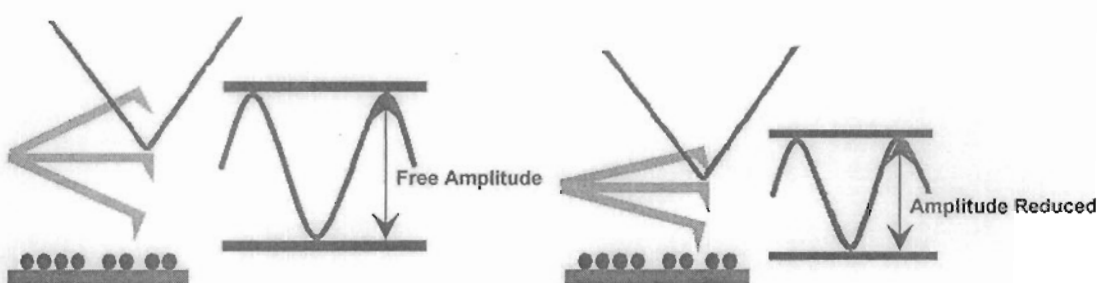
ไปบนผิวงานซึ่งจะทำให้มีแรงผลักเกิดขึ้น เนื่องจากเข้มกับผิวงานจะอยู่ใกล้กันมาก แรงผลักนี้จะเปลี่ยนแปลงไปตามสภาพผิว ซึ่งจะทำให้มีการโกร่งอ (Deflection) ของคานยื่น (Cantilever) ที่มีเข้มขัดกระอุญที่ปลาย โดยปริมาณการโกร่งจะเปลี่ยนแปลงสอดคล้องเป็นไปตามลักษณะของผิวงาน

เทคนิคแบบ Contact Mode นี้มีข้อเสียคือ การถากให้เข้มตรวจวัดเคลื่อนที่ไถข้ามไปปั้งบริเวณต่าง ๆ บนผิวงาน อาจทำให้พื้นผิวสัตถุที่กำลังศึกษาต่างไปจากสภาพเดิมที่แท้จริง หรืออาจเกิดความเสียหายขึ้นแก่ผิวงานได้ ยกตัวอย่างเช่น ภายใต้สภาวะบรรยายกาศปกติซึ่งมีอากาศและความชื้นในอากาศ อาจจะเกิดหยดน้ำหรือสิ่งสกปรกบนผิวงาน ซึ่งเมื่อเข้มวัดเคลื่อนที่ไปสัมผัสถกับผิวที่มีชื้นบาง ๆ ของหยดน้ำและสิ่งสกปรกตั้งกล่าว จะทำให้มีแรงดึงไฟฟ้าสถิตและแรงตึงผิวตึงให้ตัวคนที่มีเข้มยึดอยู่ที่ปลายเคลื่อนที่ลงมาสัมผัสกับชั้นดังกล่าว ทำให้แรงระหว่างเข้มกับผิวงานที่เกิดขึ้น โดยรวมเปลี่ยนแปลงไป นอกจานี้ ยังอาจทำให้ผิวงานถูกทำลาย เช่น เกิดการฉีกขาดจากการถากเข้มไปบนผิวงาน

2. Non-Contact Mode เพื่อที่จะหลีกเลี่ยงปัญหาดังกล่าวข้างต้น จึงได้มีการพัฒนาเทคนิคแบบ Non-Contact Mode ขึ้นมา โดยในที่นี้ ตัวเข้มปลายแหลมจะถูกยกขึ้นมาให้มีระยะห่างเหนือผิวงานสูงมากขึ้น คือประมาณ 10 - 100 Å จึงไม่มีปัญหารือแรงตึงไฟฟ้าสถิตและแรงตึงผิวตึงให้ตัวคนที่มีเข้มปั้นแหลมยึดเกาะอยู่กับผิวงานจะเป็นลักษณะแรงดึงดูดซึ่งจะเปลี่ยนแปลงไปตามรูปทรงของสภาพผิวงานเช่นเดียวกัน

วัฒน์มีข้อจำกัดเกี่ยวกับความละเอียดของภาพที่เกิดขึ้น นั่นคือ แรงดึงดูดประเภท แวนเดอร์วัลส์ (Van Der Waals) ที่เกิดขึ้นในกรณีนี้เป็นแรงที่อ่อนกว่าเมื่อเทียบกับแรงผลัก ที่เกิดขึ้นในกรณีของ Contact Mode ดังนั้นการตรวจสอบอาจไว (Sensitive) ต่อสิ่งแปรปรวน ที่อยู่บนผิวงาน เช่น หยดน้ำที่เกาะอยู่บนผิว

3. Tapping Mode เป็นเทคนิคที่รวมเอาลักษณะของการวัดทั้งในแบบของ Contact Mode และ Non-Contact Mode เข้าด้วยกัน กล่าวคือ ยังคงให้มีการสัมผัสกันระหว่างเข็มกับผิวงานใน ระยะที่ใกล้กันมาก เมื่อนอกจากกรณีของ Contact Mode เพื่อให้เกิดภาพที่ชัดเจน ในขณะเดียวกัน ก็ยังมีการสั่นหรือขับ震ที่สั้นๆ ให้เคลื่อนที่ขึ้นลงไปพร้อมๆ กับการเคลื่อนที่สแกนไปยัง บริเวณต่างๆ บนผิวงาน ดังนั้นจึงเป็นการหลีกเลี่ยงปัญหาการลากไกด้เข็มปลายแหลม ซึ่งทำให้ เกิดการทำลายสภาพของผิวงานได้ เมื่อนอกจากนี้ ภาพที่ 2-13 แสดงการสั่นของงานในภาวะอิสระหรือตอนเริ่มต้นจะเห็นได้ว่า แอมเพลจูด ยังสูงอยู่เมื่อเทียบกับแอนเพลจูดที่เกิดจาก การสั่นของงานเมื่อมีการแตะสัมผัส (Tapping) บนผิวงาน เนื่องจากในการสัมผัสกันนั้นมีการสูญเสียพลังงานของการสั่น ทำให้แอมเพลจูดของการสั่น (Oscillation Amplitude) ลดลง ถ้าที่ลดลงนี้จะให้เป็นตัววัดและบอกถึงลักษณะของสภาพพื้นผิวที่มี ความสูงต่ำแตกต่างกันไปตัวอย่างเช่น เมื่อเข็มตรวจเท้าล่อนที่ผ่านบริเวณผิวงานที่มีความผันผวนสูง ขึ้นมา ตัวงานก็จะมีพื้นที่หรือแอมเพลจูดในการสั่นลดลง ในทางตรงข้าม เมื่อเข็มปลายแหลม เคลื่อนที่ผ่านบริเวณผิวที่มีการยุบตัวหรือมีความลึกลงไป ตัวงานก็จะมีพื้นที่ในการสั่นเพิ่มขึ้น และ มีแอมเพลจูดสูงขึ้น (เข้าใกล้แอมเพลจูดสูงสุดในสภาพที่ยังไม่มีการทำการสแกน) แอมเพลจูดของ การสั่นที่เปลี่ยนแปลงไปก็จะถูกวัดโดยแอมเพลจูดดีเทคเตอร์ (Amplitude Detector) และส่งผลเข้า ไปยังตัวควบคุม ซึ่งจะทำการวัดสัญญาณพร้อมทั้งปรับระยะระหว่างเข็มกับผิวงาน เพื่อรักษาให้ ค่าแอมเพลจูดของการสั่นให้อยู่ที่ต่อไป จนกว่าจะมีการเปลี่ยนแปลงของแอมเพลจูดของการสั่น ตามสภาพพื้นผิวในบริเวณถัดไป



ภาพที่ 2-13 ลักษณะการสั่นของงานที่มีเข็มติด (อดิศร บูรณวงศ์, 2551)

สำหรับลักษณะพื้นผิวของพิล์มบาง ไฟฟานียม ได้ออกใช้ค์ที่ได้จากการวิเคราะห์ด้วย เทคนิค AFM นั้นประกอบไปด้วยรูปถ่าย 2 มิติ 3 มิติ และค่าความขรุขระ ทั้งนี้ในส่วนของค่าความ ขรุขระจะประกอบไปด้วยค่าความขรุขระเฉลี่ย (Average Roughness, Ra) และค่าความขรุขระกำลัง สองเฉลี่ย (Root-Mean-Square Roughness, Rrms) โดยค่าความขรุขระเฉลี่ยหาได้จากการที่ 10

$$R_a = \frac{1}{n} \sum_{i=1}^n |z_i| \quad (10)$$

สำหรับค่าความขรุขระหากที่สองกำลังสองเฉลี่ยหาจากสมการที่ 11

$$R_{rms} = \sqrt{\frac{1}{n} \sum_{i=1}^n z_i^2} \quad (11)$$

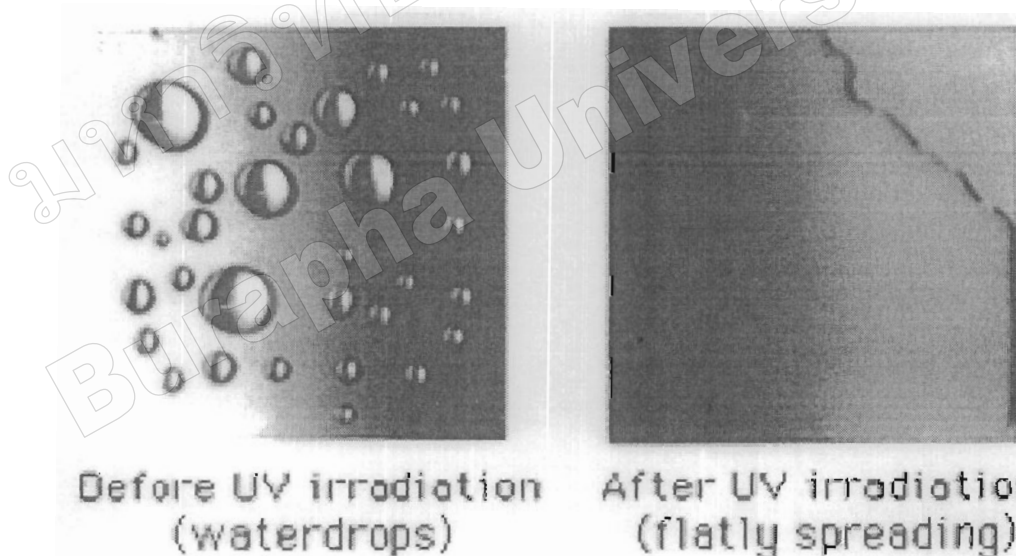
เมื่อ z_i คือค่าสูงสุดหรือต่ำสุดของแต่ละคำແหน่งบนพื้นผิว และ n คือจำนวนคำແหน่งที่มี ค่าสูงสุดหรือค่าต่ำสุดของบริเวณพื้นผิวที่ทำการวัด

3. การศึกษาสมบัติความชอบน้ำหรือสมบัติไฮdrophilic ด้วยเครื่องวัดมุมสัมผัส พรนภา สุจริตารกุล (2548) ได้อธิบายไว้ว่าเมื่อไฟฟานียม ได้ออกใช้ค์ถูกกระตุ้นด้วยแสงอัลตราไวโอล็อก จะทำให้น้ำที่เกาะบนพื้นผิวของไฟฟานียม ได้ออกใช้ค์ไม่สามารถคงตัวอยู่เป็นหยดน้ำได้ แต่จะ กระจายเป็นพิล์มบางๆ ปักคุณผิวอย่างสม่ำเสมอคล้ายแผ่นกระดาษใส จึงช่วยให้ทำให้กระจกนั้น แห้งได้อย่างรวดเร็ว โดยไม่ทิ้งรอยหรือคราบสิ่งสกปรกให้เห็นหลังจากแห้งเหมือนกับกระจกปิด สั่งผลให้กระจกไม่เป็นฝ้ามัว เนื่องจากมุมสัมผัสระหว่างหยดน้ำกับกระจกที่เคลื่อนด้วยพิล์มไฟฟานียม ได้ออกใช้ค์ มีค่าต่ำกว่าจนกระทั่งเป็นศูนย์ ที่เรียกว่าสภาพชอบน้ำแบบขึ้นยอด (Super-Hydrophilicity) เมื่อยูํภายได้แสงอัลตราไวโอล็อกเป็นเวลานาน ซึ่งโดยปกตินั้นผิวของกระจกเมื่อมี ความชื้นในอากาศมาสัมผัสถึงจะเกิดเป็นหยดน้ำเล็กๆ จำนวนมากมาเกาะ ได้ง่าย ทำให้เกิดเป็นฝ้ามัว และโดยทั่วไปแล้วมุมสัมผัสระหว่างหยดน้ำกับผิวของกระจกมีค่าอยู่ที่ประมาณ 20-30 องศา หยด น้ำบนผิวจะคงสภาพเป็นหยดน้ำคงสภาพที่ 2-14

ทั้งนี้ในการพิจารณาสมบัติไฮdrophilic ของไฟฟานียม ได้ออกใช้ค์นั้นจะศึกษาจากค่ามุม สัมผัสระหว่างหยดน้ำกับวัสดุรองรับ ซึ่งสามารถแบ่งออกได้เป็น 2 ลักษณะ คือ (1). สภาพชอบน้ำ หรือสมบัติไฮdrophilic (Hydrophilic) และ (2). สภาพไม่ชอบน้ำหรือสมบัติไฮdrophobic (Hydrophobic) โดยสมบัติไฮdrophilic จะมีค่ามุมสัมผัสระหว่างหยดน้ำมากกว่า 90 องศา (Mardare,

Luca Teodorescu, & Macovei, 2007) แต่ถ้ามุนสัมผัสของหยดน้ำมีค่ามากกว่า 5 องศา จะเรียกว่า สภาพชอบน้ำยิ่งขึ้นหรือซูเปอร์ไฮdrophilic (Super-Hydrophilic) (Zhao et al., 2005) ในขณะที่ สภาพไม่ชอบน้ำมุนสัมผัสของหยดน้ำมีค่ามากกว่า 90 องศา และถ้ามุนสัมผัสของหยดน้ำมีค่ามากกว่า 150 องศา จะเรียกว่า สภาพไม่ชอบน้ำยิ่งขึ้นหรือซูเปอร์ไฮdrophobic (Super-Hydrophobic) (McHale, Shirtcliffe, & Newton, 2004)

สำหรับกลไกในการเกิดสภาพชอบน้ำของฟิล์มนางไททาเนียมไกออกไซด์ Guan (2005) ได้อธิบายว่า สภาพชอบน้ำของไททาเนียมไกออกไซด์นั้นเกิดขึ้นเมื่อไททาเนียมไกออกไซด์ซึ่งเป็นสารกึ่งตัวนำได้รับแสงอัลตราไวโอเลต ทำให้เกิดคู่ของอิเล็กตรอนกับไฮโล โดยอิเล็กตรอนจะรีดิวช์ Ti (IV) Cation เป็น Ti (III) ส่วนไฮโลจะออกซิไಡซ์ซูเปอร์ออกไซด์แอนิโอลอน (O_2^-) และในกระบวนการนี้จะทำให้อัตโนมของออกซิเจนหลุดออกจากเกิดสภาวะขาดออกซิเจน (Oxygen Vacancy) ขึ้น ดังนั้น ไม่เลกูลของน้ำจึงสามารถเข้ามาแทนที่บริเวณดังกล่าวจนทำให้เกิดการคุกชับหมุนไสครอกซิล (OH) ซึ่งหมุนคล่วงจะช่วยให้ไททาเนียมไกออกไซด์มีสภาพชอบน้ำ

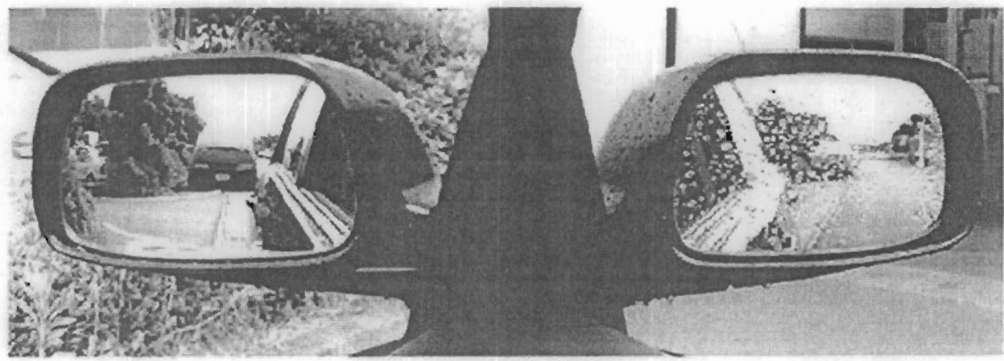


ภาพที่ 2-14 สภาพชอบน้ำของกระจกที่เคลือบด้วยฟิล์มน้ำไททาเนียมไกออกไซด์ก่อน (ซ้าย)
และหลังสัมผัสแสง UV (ขวา) (อดิศร บูรณวงศ์, 2551)

ดังนี้จากสมบัติที่กล่าวมาข้างต้นจึงมีการนำไฟฟ้าเนียม ไดออกไซด์ไปเคลือบบนกระจก เพื่อทำให้กระจกมีความใสและไม่มีฝ้า หรือที่เรียกว่า Anti-Fogging Glass ดังแสดงในภาพที่ 2-15 เปรียบเทียบให้เห็นอย่างชัดเจนระหว่างกระจกส่องหน้าปกติ (ภาพที่ 2-15 ด้านซ้าย) กับกระจกที่ผ่านการเคลือบผิวด้วยไฟฟ้าเนียม ไดออกไซด์ (ภาพที่ 2-15 ด้านขวา) หลังจากถูกแสงยะ焱สค์ใส่สามารถมองเห็นได้อย่างชัดเจน ตัวอย่างของการนำมาประยุกต์ใช้งานตัวอย่างหนึ่ง คือ การเคลือบกระจกรถยนต์ โดยทั่วไปเมื่อฝนตกกระจกจะขัดขวางสายตาของขับรถคนต่อไปไม่มีการเคลือบผิวนั้นฝนที่ตกมากระแทกกระจกจะหลอกจากผิวหน้ากระจกได้ยากทำให้เกิดเป็นหยดน้ำเกาะทั่วผิวหน้ากระจก ทำให้การมองเห็นของกระจกนั้นไม่ดี ทั้งนี้ Nakamura et al. (2006) ได้เสนอแนวทางการแก้ปัญหานี้โดยได้ทดลองเคลือบฟิล์ม $\text{SiO}_2/\text{TiO}_2$ ลงบนกระจกแผ่นเรียบด้วยวิธีระเหยสารในสูญญากาศ (Vacuum Evaporation) และนำมาไปทดสอบการขับตัวของน้ำ ดังภาพที่ 2-16 พนวณว่ากระจกที่ผ่านการเคลือบนั้นไม่มีหยดน้ำเกาะบนผิวหน้ากระจก



ภาพที่ 2-15 สมบัติป้องกันฝ้าของกระจกส่องหน้าที่ไม่เคลือบด้วยไฟฟ้าเนียม ไดออกไซด์ (ซ้าย) ผ่านการเคลือบด้วยไฟฟ้าเนียม ไดออกไซด์ (ขวา)
(อดิศร บูรพาวงศ์, 2551)



(a)

(b)

ภาพที่ 2-16 การเปรียบเทียบความสามารถในการคงทนของกระชังของชั้งร้อนต์

(a) เคลือบด้วยฟิล์ม $\text{SiO}_2/\text{TiO}_2$ (b) แบบทั่วไป (อดิศร บูรณวงศ์, 2551)

งานวิจัยที่เกี่ยวข้อง

Igor and Kenneth (2004) ได้ศึกษาโดยการทำการเปรียบเทียบระหว่างการสังเคราะห์ผงไกทานียม โคอกไซด์และเครื่องพิล์มไกทานียม โคอกไซด์บนแผ่น Quartz ด้วยวิธีโซล-เจล โดยใช้ไกทานียม(IV) ไอโซโพฟานอลเป็นสารตั้งต้น และใช้ 2-ไอโซโพฟานอลเป็นตัวทำละลาย เพื่อศึกษาถึงผลของอุณหภูมิที่มีต่อการเปลี่ยนแปลงดักษณะทางกายภาพและโครงสร้างผลึกของไกทานียม โคอกไซด์ ซึ่งวิเคราะห์ด้วย XRD, UV-Vis Spectroscopy, AFM และSEM พบว่าการเปลี่ยนแปลงเฟล็กซ์ของไกทานียม โคอกไซด์สัมภ์เกตได้ชัดเจนกว่า คือที่อุณหภูมิ 500 องศาเซลเซียส ปรากฏผลึกอนาเทส เมื่อเพิ่มอุณหภูมิสูงขึ้นถึง 800 องศาเซลเซียส ได้เปลี่ยนเฟล็กซ์เป็นรูไอล์อย่างสมบูรณ์ขนาดผลึกของไกทานียม โคอกไซด์ที่เตรียมเป็นฟิล์มนีขนาดเล็กกว่าที่เตรียมเป็นผง ในขณะเดียวกันยังคงมีประสิทธิภาพที่ดีเกิดปฏิกิริยาได้เร็วที่สุดในกระบวนการโพโตกตะไสติกเนื่องจากมีอุณหภูมิที่เล็กกว่าผงไกทานียม โคอกไซด์

Kim, Hahn, Oh, and Kim (2002) ได้ศึกษาถึงผลกระทบของการเปลี่ยนแปลงอุณหภูมิที่ใช้ในการอบเคลือบฟิล์มไกทานียม โคอกไซด์ด้วยวิธีโซล-เจล โดยใช้ไกทานียมเตตราะ ไอโซโพรอกไซด์:ไอโซโพฟานอล:ไฮดรคลอริก (0.7) ในอัตราส่วนโมลาร์ 1:26.5:1.5 โดยใช้อุณหภูมิในการอบฟิล์มตั้งแต่ 300 จนถึง 1,100 °C ผลการทดลองได้ว่าที่ 300 °C ฟิล์มไกทานียม โคอกไซด์ยังคงเป็นสัญญาณอยู่ สามารถพบผลึกอนาเทสได้ตั้งแต่อุณหภูมิ 400 °C ขึ้นไป และความเข้มของฟีคมากขึ้นเมื่ออุณหภูมิสูงขึ้นตามลำดับ ความเข้มของฟีค่อนาเทสลดลงที่ตั้งแต่ 1,000 °C และเริ่มเปลี่ยนเป็นผลึกไอล์เกิดขึ้นแทน โดยที่ความเข้มของฟีคูไอล์เริ่มสูงขึ้นในขณะที่ฟีค่อนาเทสเริ่มลดลงเมื่ออุณหภูมิเพิ่มมากขึ้น ค่าดัชนีหักเหของฟิล์มไกทานียม โคอกไซด์เพิ่มขึ้นเมื่ออุณหภูมิในการอบฟิล์มสูงขึ้น

Hou, Zhuang, Zhang, Zhao and Wu (2003) ได้ศึกษาอิทธิพลของอุณหภูมิที่มีผลต่อคุณสมบัติของฟิล์มไททาเนียม โคออกไซด์ด้วยวิธีสปีกเตอริงเคลือบบนชิลิกอนเวเฟอร์ที่อุณหภูมิห้อง อบฟิล์มที่อุณหภูมิตั้งแต่ 300-1100 °C หลังอบฟิล์มไททาเนียม โคออกไซด์ที่อุณหภูมิ 300 °C เริ่มปรากฏเฟสอนาคต เมื่อเพิ่มอุณหภูมิจนถึง 700 °C เกิดเฟสอนาคตอย่างสมบูรณ์ ฟิล์มไททาเนียม โคออกไซด์เปลี่ยนเฟสเป็นรูไอล์อย่างสมบูรณ์ที่อุณหภูมิ 900 °C ค่าดัชนีหักเหของฟิล์มไททาเนียม โคออกไซด์มีค่าเพิ่มขึ้นเมื่ออุณหภูมิในการอบฟิล์มลดลง ฟิล์มไททาเนียม โคออกไซด์อบที่อุณหภูมิ 500 °C มีคุณสมบัติทางแสงดีที่สุด

Chae et al. (2003) ได้ศึกษาวิธีการเตรียมอนุภาคนาโนของไททาเนียม โคออกไซด์ซึ่งมีขนาดที่ควบคุมได้อยู่ในช่วง 5-50 นาโนเมตร โดยใช้การทำปฏิกิริยาโซล-เจล ในสภาวะที่เป็นกรด (พีเอช 1) พบว่า มี 2 ปัจจัยที่มีผลต่อการควบคุมขนาดของอนุภาคไททาเนียม โคออกไซด์ คือ ค่าความเข้มข้นของสารตั้งต้น(ไททาเนียม酇ะrate ไอโซโพรพอกไซด์) และอัตราส่วนของตัวทำละลาย (เอทานอล:น้ำ) นอกจากนี้ยังพบว่า Degussa P25 ซึ่งเป็นผงไททาเนียม โคออกไซด์ ที่มีขนาดเฉลี่ยประมาณ 25 นาโนเมตร จะรวมตัวกันเป็นอนุภาคขนาดประมาณ 200-400 นาโนเมตร เมื่ออุ่นในสภาวะที่มีสารละลาย และรวมตัวกันเป็นอนุภาคใหญ่กว่า 100 นาโนเมตร มีอานามาเตรียมเป็นฟิล์มบาง(โดย Spin Coating) และหากดองการเตรียมให้ได้ฟิล์มที่ใส (Optically Clear) ต้องใช้สารละลายที่มีอนุภาคไททาเนียม โคออกไซด์ขนาดเล็กกว่า 25 นาโนเมตร มาใช้

Verma, Samanta, Bakhshi and Agnihotry (2005) ได้ทำการศึกษาถึงการเตรียมฟิล์มบางไททาเนียม โคออกไซด์ด้วยวิธีโซล-เจล โดยใช้ตัวเร่งปฏิกิริยาที่ต่างกัน คือใช้อานาอมีamin เป็นตัวเร่งปฏิกิริยา และใช้อะเซทิลอะซีโตนร่วมกับกรดอะซิติกเป็นตัวเร่งปฏิกิริยา โดยใช้ไททาเนียม酇ะไอโซโพรพอกไซด์เป็นสารตั้งต้น และใช้อานาอมีเป็นตัวทำละลาย พบว่า ฟิล์มที่ได้จากห้องส่องสภาวะนั้น มีคุณสมบัติความติดทนที่ดี และฟิล์มยึดติดกันดี นอกจากนี้ยังพบว่า มีปัจจัยที่ส่งผลกระทบต่อการเตรียมฟิล์มบางมากนากมาย เช่น การเลือกสารตั้งต้น อุณหภูมิที่ใช้ในการอบเคลือบฟิล์ม จำนวนรอบในการจุ่มเคลือบและความเร็วในการจุ่มเคลือบ เป็นต้น

Guillard et al. (2002) ได้ทำการศึกษาถึงประสิทธิภาพของฟิล์มไททาเนียม โคออกไซด์ โดยใช้การเตรียมที่แตกต่างกันด้วยวิธี โซล-เจล พบร่วมกับประสิทธิภาพของฟิล์มนั้นขึ้นอยู่กับจำนวนรอบในการจุ่มเคลือบ ความหนาของฟิล์ม อุณหภูมิในการอบเคลือบ และการเตรียมสารละลายใน การจุ่มเคลือบ ต้องเลือกสภาวะที่เหมาะสมแล้วจะได้ฟิล์มไททาเนียม โคออกไซด์ที่มีประสิทธิภาพสูงสุด

Mill, Wang, Crow, Taglioni and Novella (2007) ได้ศึกษาเกี่ยวกับการนำเทคโนโลยี Plasma-Assisted Reactive DC Magnetron Sputtering (PAR-DC-MS) มาใช้ในการเตรียมฟิล์มไททาเนียมไออกไซด์ที่มีความหนา 250 นาโนเมตร บนกระ Jerk ฟิล์มไททาเนียมไออกไซด์ที่เตรียมได้ในลักษณะโปร่งแสงไม่มีสี และมีคุณสมบัติเป็นตัวคงคลินิก Resazurin (Rz) ด้วยแสง พบร่วมกับเมื่อกระตุนด้วยแสงยูวีเป็นเวลา 2 นาที จะทำให้สี Resazurinเปลี่ยนจากสีน้ำเงินเป็นสีชมพูของ Resorufin (Rf) ภายในเวลา 2 นาทีเท่านั้น ซึ่งพบว่าใช้เวลาน้อยกว่าการย้อมสีด้วยสารอินทรีย์กับกรดเตียริกและสารออกซ์ินิก Resazurin (Rz) ด้วยแสง พบร่วมกับเมื่อเนื่องจาก การย้อมสีด้วยสารอินทรีย์กับกรดเตียริกด้วยแสงใช้เวลานานเป็นชั่วโมง นอกจากนี้ยังพบว่า ฟิล์มไททาเนียมไออกไซด์คงกล่าวและคงคุณสมบัติ Superhydrophilicity ด้วย